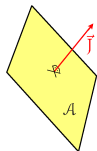


Transportní jevy

1/25
AB21,μ06

Transportní (kinetické) jevy: difuze, elektrická vodivost, viskozita (vnitřní tření), vedení tepla...
ne konvekce, turbulence, sálání...

- Tok (flux)** (též zobecněný tok) hmoty, náboje, hybnosti, tepla...
 $J =$ množství dané veličiny přenesené jednotkovou plochou (kolmou k vektoru toku) za jednotku času.
 Jednotky: tok energie/tepla: $J \text{ m}^{-2} \text{ s}^{-1} = \text{W m}^{-2}$
 proudová hustota: $C \text{ s}^{-1} \text{ m}^{-2} = \text{A m}^{-2}$
 hmotnostní tok: $\text{kg m}^{-2} \text{ s}^{-1}$
 molární tok (tok látkového množství): $\text{mol m}^{-2} \text{ s}^{-1}$



- Příčina = (zobecněná, termodynamická) **síla**
 $J = -$ gradient jistého **potenciálu**
 (chemický potenciál, elektrický potenciál vs. teplota, koncentrace)
- V případě malých sil platí **přímá úměrnost**

$$J = \text{konst} \cdot F$$

*Názvoslovní se liší obor od oboru. Někdy **tok** je definován jako integrální (extenzivní) veličina = vše co projde danou plochou (přířezem), výše definovaná diferenciální veličina (vektor) se pak nazývá buď **hustota toku** (flux density) nebo **intenzita toku**.

Difuze – makroskopický pohled

2/25
AB21,μ06

První Fickův zákon: Difúzní tok J_i látky i

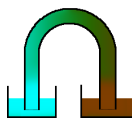
$$J_i = -D_i \nabla c_i$$

je úměrný **gradientu koncentrace**

$$\nabla c_i = \text{grad } c_i = \left(\frac{\partial}{\partial x}, \frac{\partial}{\partial y}, \frac{\partial}{\partial z} \right) c_i = \left(\frac{\partial c_i}{\partial x}, \frac{\partial c_i}{\partial y}, \frac{\partial c_i}{\partial z} \right)$$

D_i = koeficient difuze (difuzivita) látky i , jednotky: $\text{m}^2 \text{ s}^{-1}$

Příklad. Trubice tvaru U délky $l = 20 \text{ cm}$ a průřezu $A = 0.3 \text{ cm}^2$ má na obou koncích fritu. Jeden konec je ponořen v Coca-Cole (11 hm.% cukru) a druhý v čisté vodě. Kolik cukru prodifunduje za den? $D_{\text{sacharóza}}(25^\circ \text{C}) = 5.2 \times 10^{-6} \text{ cm}^2 \text{ s}^{-1}$.



110 g cukru v litru: $c_w = 110 \text{ g dm}^{-3} = 110 \text{ kg m}^{-3}$

$\text{grad } c_w = c_w/l = 550 \text{ kg m}^{-4}$

$D = 5.2 \times 10^{-6} \text{ cm}^2 \text{ s}^{-1} = 5.2 \times 10^{-10} \text{ m}^2 \text{ s}^{-1}$

$J = D \text{ grad } c_w = 2.56 \times 10^{-7} \text{ kg m}^{-2} \text{ s}^{-1}$

$m = JAt = 2.56 \times 10^{-7} \text{ kg m}^{-2} \text{ s}^{-1} \times 0.3 \times 10^{-4} \text{ m}^2 \times 24 \times 60^2 \text{ s} = 7.4 \times 10^{-7} \text{ kg} = \underline{0.74 \text{ mg}}$

Pro hmotnostní koncentraci (v kg m^{-3}) vyjde tok v $\text{kg m}^{-2} \text{ s}^{-1}$

Druhý Fickův zákon – ukázka

[plot/cukr.sh] 6/25
AB21,μ06

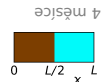
Ukázka. Coca-Colu ve válci (výška sloupce 10 cm) opatrně převrstvíme čistou vodou (10 cm). Za jak dlouho bude koncentrace u hladiny rovna polovině koncentrace u dna?

Pro matematicky zdatné jedince řešení Fourierovou metodou:

$$\frac{\partial c}{\partial t} = D \frac{\partial^2 c}{\partial x^2}, \quad c(x, 0) = \begin{cases} c_0 & x < L/2 \\ 0 & x > L/2 \end{cases}, \quad \frac{\partial c}{\partial x}(0, t) = \frac{\partial c}{\partial x}(L, t) = 0$$

$$c(x, t) = \sum_i c_{x,i}(x) c_{t,i}(t), \quad \frac{1}{c_{t,i}} \frac{\partial c_{t,i}}{\partial t} = \frac{D}{c_{x,i}} \frac{\partial^2 c_{x,i}}{\partial x^2} = \lambda_i, \quad \lambda_0 = 0, \lambda_i = -\frac{(2i-1)^2 \pi^2}{L^2} D$$

$$c(x, t) = \frac{c_0}{2} + \frac{2c_0}{\pi} \left[\cos\left(\frac{\pi x}{L}\right) \exp\left(-\frac{\pi^2}{L^2} Dt\right) - \frac{1}{3} \cos\left(\frac{3\pi x}{L}\right) \exp\left(-\frac{3^2 \pi^2}{L^2} Dt\right) + \frac{1}{5} \cos\left(\frac{5\pi x}{L}\right) \exp\left(-\frac{5^2 \pi^2}{L^2} Dt\right) \dots \right]$$



Difuze – mikroskopický pohled

3/25
AB21,μ06

Tok látky je dán střední rychlostí molekul \bar{v}_i :

$$J_i = \bar{v}_i c_i$$

Termodynamická síla je minus gradient chemického potenciálu:

$$F_i = -\nabla \left(\frac{\mu_i}{N_A} \right) = -\frac{k_B T}{c_i} \nabla c_i$$

kde jsme použili vztah pro ∞ zředění, $\mu_i = \mu_i^\circ + RT \ln(c_i/c^\circ)$.

Pohybuje-li se molekula rychlostí \bar{v}_i , působí na ní síla odporu prostředí (přibližně) úměrná rychlosti:

$$F_i^{\text{tření}} = -f_i \bar{v}_i$$

$F_i^{\text{tření}} \propto$
 v^0 smykové, valivé
 v^1 laminární, mikrosvět
 v^2 turbulентní

kde $f_i = F_i^{\text{tření}}/v$ je koeficient tření. Obě síly jsou v rovnováze,

$$F_i^{\text{tření}} + F_i = 0 \quad \text{tj.} \quad -f_i \bar{v}_i = f_i \bar{v}_i = f_i \frac{J_i}{c_i} = -\frac{k_B T}{c_i} \nabla c_i$$

Porovnáním s $J_i = -D_i \nabla c_i$ dostaneme **Einsteinovu rovnici:** $D_i = \frac{k_B T}{f_i}$

též Einsteinova-Smoluchovského rovnice
 příklad obecnější „věty o disipaci fluktuací“ (fluctuation-dissipation theorem)
 1/f = v/F^{tření} se též nazývá **pochyblivost**

Einsteinova-Stokesova rovnice

[blend-g che/sucrose] 4/25
AB21,μ06

Pro koloidní částice či velké kulovité molekuly o poloměru R_i v kapalině o viskozitě η platí Stokesův vzorec

$$F_i = 6\pi\eta R_i \bar{v}_i$$

⇒ Einsteinova-Stokesova rovnice:

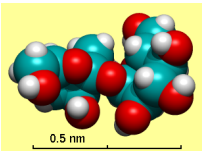
$$D_i = \frac{k_B T}{f_i} \Rightarrow D_i = \frac{k_B T}{6\pi\eta R_i}$$

Opačně – definujeme Stokesův (hydrodynamický, aerodynamický) poloměr:

$$R_i = \frac{k_B T}{6\pi\eta D_i}$$

který je roven jisté efektivní velikosti molekuly (vč. např. solvatační slupky)

Příklad. Odhadněte velikost molekuly sacharózy, $\eta_{\text{voda}}(25^\circ \text{C}) = 0.891 \times 10^{-3} \text{ Pa s}$, $D_{\text{sacharóza}}(25^\circ \text{C}) = 5.2 \times 10^{-6} \text{ cm}^2 \text{ s}^{-1}$.



Druhý Fickův zákon

5/25
AB21,μ06

Nestacionární jev (koncentrace se mění s časem):
 za dt do objemu $dV = dx dy dz$ přiteče:

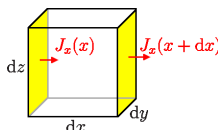
$$dn = \sum_{x,y,z} [J_x(x) - J_x(x+dx)] dy dz$$

$$= \sum_{x,y,z} [J_x(x) - J_x(x) + \frac{\partial J_x}{\partial x} dx] dy dz$$

$$= - \sum_{x,y,z} \frac{\partial J_x}{\partial x} dx dy dz = -\nabla \cdot \vec{J} dV = -\nabla \cdot (-D \nabla c) dV$$

$$= D \nabla^2 c dV = D \left(\frac{\partial^2}{\partial x^2} + \frac{\partial^2}{\partial y^2} + \frac{\partial^2}{\partial z^2} \right) c dV$$

$$\frac{\partial c_i}{\partial t} = D_i \nabla^2 c_i$$



1D verze (např. v kapiláře):

$$\frac{\partial c_i}{\partial t} = D_i \frac{\partial^2 c_i}{\partial x^2}$$

Tento typ je znám jako „rovnice vedení tepla“
 a patří mezi parabolické parciální diferenciální rovnice

Difuze a Brownův pohyb

[traj/brown.sh] 7/25
AB21,μ06

Řeším druhou Fickovu rovnici pro látkové množství n pro $t = 0$ na ploše $x = 0$ o velikosti A v počátku. Dostanu Gaussovo rozložení (viz Maple):

$$1D: c(x, t) = \frac{n}{A} (4\pi Dt)^{-1/2} \exp\left(-\frac{x^2}{4Dt}\right)$$

$$3D: c(\vec{r}, t) = n(4\pi Dt)^{-3/2} \exp\left(-\frac{r^2}{4Dt}\right)$$

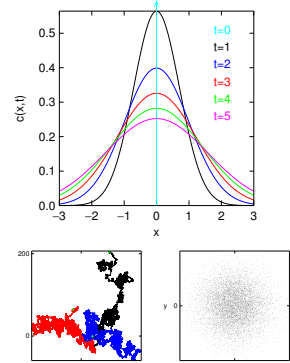
Reinterpretace: \propto pravděpodobnost nalezení jedné částice, je-li v $t = 0$ na ploše $x = 0$ v bodě $\vec{r} = (0, 0, 0)$

1D: $\langle x^2 \rangle = 2Dt$

Předchozí příklad řádově:
 $t \approx x^2/2D = 4$ měsíce
 (pro $x = 0.1 \text{ m}$)

3D: $\langle r^2 \rangle = 6Dt$

Brownův pohyb: <https://www.youtube.com/watch?v=PPMVaAnij88>



Výpočty v Maple

[cd.../maple; xmaple brown.mw] 8/25
AB21,μ06

```
> restart;
> assume(DD>0, t>0);
> c := exp(-x^2/(4*DD*t))/sqrt(4*Pi*DD*t);
```

$$c := \frac{1}{2} \frac{e^{-\frac{x^2}{4DDt}}}{\sqrt{\pi DDt}}$$

normalizace

```
> int(c, x=-infinity..infinity);
```

1

dosažení do rovnice pro vedení tepla

```
> diff(c, t)-DD*diff(c, x, x);
```

$$\frac{1}{8} \frac{x^2 e^{-\frac{x^2}{4DDt}}}{DD^2 t^2 \sqrt{\pi DDt}} - \frac{1}{4} \frac{e^{-\frac{x^2}{4DDt}}}{(\pi DDt)^{3/2}} - DD \left(-\frac{1}{4} \frac{e^{-\frac{x^2}{4DDt}}}{DD^2 t^2 \sqrt{\pi DDt}} + \frac{1}{8} \frac{x^2 e^{-\frac{x^2}{4DDt}}}{DD^2 t^2 \sqrt{\pi DDt}} \right)$$

po zjednodušení dá nulu

```
> simplify(0);
```

0

střední posunutí (x) je nula

```
> int(c*x, x=-infinity..infinity);
```

0

střední kvadratické posunutí (x²)

```
> int(c*x^2, x=-infinity..infinity);
```

2 t DD~

Brownův pohyb jako náhodná procházka

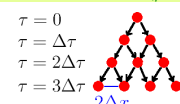
[show/galton.sh] 9/25
AB21,μ06

(Smoluchowski, Einstein)

za čas Δt se posunu náhodně

● o Δx s pravděpodobností 1/2

● o $-\Delta x$ s pravděpodobností 1/2



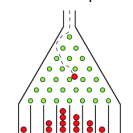
V čase $2n\Delta t$ je pravděpodobnost polohy v bodě $x = 2k\Delta x$, $-n \leq k \leq +n$, rovna

$$P(n, k) = \binom{2n}{n-k} 4^{-n}$$

Galtonovo prkno

Limita pro $n \rightarrow \infty$ je Gaussovo rozdělení

$$\frac{1}{\sqrt{2\pi t}} \frac{\sqrt{\Delta t}}{\Delta x} \exp\left[-\frac{x^2 \Delta t}{2t \Delta x^2}\right]$$



což je pro $2D = \Delta x^2/\Delta t$ to samé co $c(x, t)$

galton.sh = video + porovnání binomické + Gaussovo (show/gb.sh)

video = <https://www.youtube.com/watch?v=6YDHBfVlvis>

Brownův pohyb jako náhodná procházka

[show/convol.sh 200000] 10/25
AB21,μ06

Odvození s použitím **centrální limitní věty**:

● v jednom kroku: $\text{Var } x^{(x)=0} = \Delta x^2$

● v n krocích (za čas $t = n\Delta t$): $\text{Var } x = n\Delta x^2$

⇒ Gaussovo normální rozdělení se $\sigma = \sqrt{n\Delta x^2} = \sqrt{t/\Delta t} \Delta x$, tj

$$\frac{1}{\sqrt{2\pi\sigma}} e^{-x^2/2\sigma^2} = \frac{1}{\sqrt{2\pi t}} \frac{\sqrt{\Delta t}}{\Delta x} \exp\left[-\frac{x^2 \Delta t}{2t \Delta x^2}\right]$$

což je pro $2D = \Delta x^2/\Delta t$ to samé co $c(x, t)$

Pozn.: $\text{Var } x \stackrel{\text{def.}}{=} ((x - \langle x \rangle)^2)$, pro $\langle x \rangle = 0$, pak $\text{Var } x = \langle x^2 \rangle$

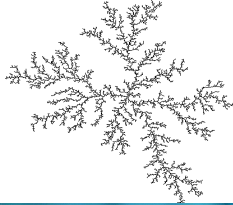
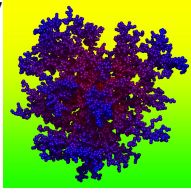
Příklad. Spočítejte $\text{Var } u$, kde u je náhodné číslo z intervalu $(-1, 1)$

show/convol.sh = konvoluce rovnoměrného rozdělení metodou Monte Carlo

Fraktální dimenze – náhodné fraktály

[/home/jiri/maccimus/show/dendrimr-n500] 11/25
AB21,μ06

- Trajektorie Brownova pohybu (náhodná procházka s protínáním, lineární polymer v θ -rozpuštědle): $D = 2$
- Náhodná procházka bez protínání (lineární polymer v dobrém rozpuštědle) ve 3D: $D = 1.7$
- Dendrimer vzniklý difuzně řízenou agregací (ve 2D): $D = 1.7$
- Dendrimer vzniklý difuzně řízenou agregací (ve 3D): $D = 2.5$
- Brokolice $D = 2.66$
- Povrch plíc $D = 2.97$



elektrodepozice mědi →
credit: wikipedia

Elektrická vodivost roztoků elektrolytů

12/25
AB21,μ06

Ohmův zákon (zde: $U =$ napětí, $U = \phi_2 - \phi_1$):

$$R = \frac{U}{I} \quad I = \frac{1}{R}U \quad 1/R = \text{vodivost, } [1/R] = 1/\Omega = S = \text{Siemens}$$

Měrná vodivost (konduktivita) κ (též σ , γ) je vodivost jednotkové krychle

$$\frac{1}{R} = \kappa \frac{A}{l} \quad A = \text{plocha, } l = \text{tloušťka vrstvy, } [\kappa] = S \cdot m^{-1}$$

Ekvivalentně: $\rho = 1/\kappa =$ rezistivita = měrný elektrický odpor, $[\rho] = \Omega \cdot m$

Vektorově: $\vec{j} = \kappa \vec{\mathcal{E}} = -\kappa \vec{\nabla} \phi$

\vec{j} = proudová hustota, $j = I/A$

$\vec{\mathcal{E}}$ = intenzita el. pole, $\mathcal{E} = U/l$

Konduktivita

13/25
AB21,μ06

látko	$\kappa/(S \cdot m^{-1})$
grafen	1×10^8
stříbro	6.3×10^7
mořská voda	5
Ge	2.2
pitná voda	0.005 až 0.05
Si	1.6×10^{-3}
destilovaná voda (obsahuje CO ₂)	7.5×10^{-5}
deionizovaná (vodivostní) voda	5.5×10^{-6}
sklo	1×10^{-15} – 1×10^{-11}
teflon	1×10^{-25} – 1×10^{-23}

Pohyb iontů způsobený elektrickým polem se nazývá **migrace**

Vsuvka: Produkce tepla a entropie

14/25
AB21,μ06

Při průchodu proudem rezistorem vzniká Jouleovo teplo, $Q = Uq = UI t$

Značení: teplo = Q , náboj = q , čas = t , intenzita pole = \mathcal{E}

$U = l\mathcal{E}$, $I = jA$, $V = lA$ (l = tloušťka vrstvy, A = plocha, V = objem)

Produkce tepla (v jednotce objemu za jednotku času); přesněji: systém lze převést z 1 stavu na druhý vratně převedením tohoto tepla

$$\frac{Q}{Vt} = \vec{j} \cdot \vec{\mathcal{E}}$$

Obecně (\vec{j} = tok něčeho, \vec{F} = sdružená síla, $\vec{j} = \text{konst} \cdot \vec{F}$):

$$\frac{Q}{Vt} = \vec{j} \cdot \vec{F}$$

Jev je **ne vratný**, produkce entropie (v jednotce objemu za jednotku času):

$$\frac{\Delta S}{Vt} = \frac{\vec{j} \cdot \vec{F}}{T}$$

Disipativní struktury spojené s produkcí entropie vedou (u složitých nelineárních systémů) ke vzniku samoorganizovaných systémů (Prigogine)

Vsuvka: Princip minimální produkce entropie

15/25
AB21,μ06

Uvažujme dva rezistory o odporu R za sebou po napětím U :

$$- [R] - [R]$$

V stacionárním stavu je na každém rezistoru napětí $U = IR$, celkem

$$U_{\text{tot}} = U + U = 2IR$$

Produkce tepla ($\propto \Delta S$) je

$$\frac{Q}{t} = U_{\text{tot}} I = \frac{U}{R} + \frac{U}{R} = 2 \frac{U^2}{R}$$

Nechť dojde k fluktuaci napětí,

$$U_1 = U - \delta U, U_2 = U + \delta U.$$

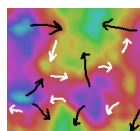
$$\frac{Q}{t} = \frac{U_1^2}{R} + \frac{U_2^2}{R} = 2 \frac{U^2}{R} + 2 \frac{\delta U^2}{R} > 2 \frac{U^2}{R}$$

Ve stacionárním stavu je produkce entropie nejmenší

- pro lineární režim blízko stacionárního stavu
- ale: narušení symetrie



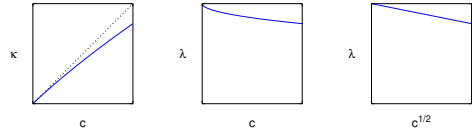
Ilya Prigogine
credit: www.education.mcgill.ca



Molární vodivost

16/25
AB21,μ06

Silné elektrolyty: měrná vodivost je (přibližně) úměrná koncentraci.



Definujeme **molární vodivost** λ :

$$\lambda = \frac{\kappa}{c}$$

Jednotky: $[\kappa] = S \cdot m^{-1}$, $[\lambda] = S \cdot m^2 \cdot mol^{-1}$.

Pozor na jednotky – nejlépe převést c na $mol \cdot m^{-3}$!

Příklad. Konduktivita roztoku HCl o koncentraci 0.1 mol dm^{-3} je $4 S \cdot m^{-1}$. Jaká je molární vodivost HCl?

$$\lambda = \frac{4 S \cdot m^{-1}}{0.1 \text{ mol dm}^{-3}} = 40 S \cdot m^2 \cdot mol^{-1}$$



$1 \text{ mol dm}^{-3} = 1000 \text{ mol m}^{-3}$

Pohyblivost a molární vodivost

17/25
AB21,μ06

Pohyblivost (*mobility*) iontu, „průměrná rychlost v jednotkovém elektrickém poli“.

Jednotky: $m^2 \cdot V^{-1} \cdot s^{-1} = S \cdot m^2 \cdot C^{-1}$, $cm^2 \cdot V^{-1} \cdot s^{-1}$

$$u_i = \frac{v_i}{\mathcal{E}} \quad \mathcal{E} = U/l = \text{intenzita elektrického pole, } U = \text{napětí}$$

Náboje z_i o rychlosti v_i a koncentraci c_i způsobí proudovou hustotu

$$j_i = v_i c_i z_i F = u_i \mathcal{E} c_i z_i F \stackrel{!}{=} \lambda_i c_i \mathcal{E} \Rightarrow \lambda_i = u_i z_i F = \text{molární vodivost iontu } i$$

Ionty (ve zředěných roztocích) migrují nezávisle (**Kohlrauschův zákon**), pro elektrolyt $K^+ A_e^-$ zde definujeme $z_0 > 0$

$$j = j_+ + j_- = (\lambda_+ c_+ + \lambda_- c_-) \mathcal{E} = (\lambda_+ v_+ + \lambda_- v_-) c \mathcal{E}$$

Matematicky:

$$\lambda = \frac{\kappa}{c} = \sum_i \nu_i \lambda_i$$

ν = rychlost
 ν = stechiometrický koeficient

Nic není ideální

[cd pic:mz grothuss.gif] 18/25
AB21,μ06

Limitní molární vodivost = molární vodivost v nekonečném zředění:

$$\text{iontu } i: \lambda_i^\infty = \lim_{c \rightarrow 0} \lambda_i, \quad \text{roztoku soli: } \lambda^\infty = \lim_{c \rightarrow 0} \lambda$$

Odchytky od limitního chování jsou v prvním přiblížení obdobného tvaru jako v Debyeově-Hückelově teorii:

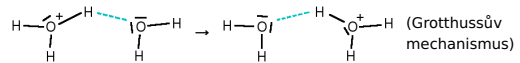
$$\lambda = \lambda(c) = \lambda^\infty - \text{const} \sqrt{c} \quad \text{nebo} \quad \lambda = \lambda^\infty - \text{const} \sqrt{I_c}$$

Typické hodnoty:

kation	$\lambda^\infty/(S \cdot m^2 \cdot mol^{-1})$	anion	$\lambda^\infty/(S \cdot m^2 \cdot mol^{-1})$
H ⁺	0.035	OH ⁻	0.020
Na ⁺	0.0050	Cl ⁻	0.0076
Ca ²⁺	0.012	SO ₄ ²⁻	0.016

- Pohyblivost a molární vodivost klesá s velikostí iontu (Cl⁻ je pomalý), ale i hydrataci (malý ale pevně hydratovaný Li⁺ je pomalý).
- H⁺, OH⁻ mají velké pohyblivosti

animace credit: Matt K. Petersen, Wikipedia



Vodivost slabého elektrolytu

19/25
AB21,μ06

Vše platí, počítají-li se jen ionty, ne nedisociovaná látka

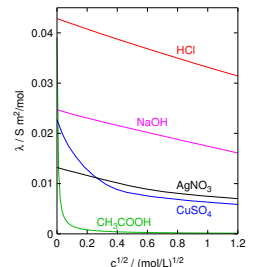
V limitě ∞ zředění (malé koncentrace):

$$\lambda^\infty = \frac{\kappa}{c_{\text{ionty}}}, \quad \lambda \equiv \lambda^{\text{exptl}} = \frac{\kappa}{c} \Rightarrow \alpha = \frac{[H^+]}{c_0} = \frac{\lambda}{\lambda^\infty}$$

Ostwaldův zředovací zákon:

$$K_a = \frac{c_0 \alpha^2}{c_0^{\text{st}} (1 - \alpha)} = \frac{c_0 \lambda^2}{c_0^{\text{st}} \lambda^\infty (\lambda^\infty - \lambda)}$$

Neidealita: K_a je přibližně lineární funkcí $\sqrt{I_c} \propto \sqrt{c_{\text{ionty}}} = \sqrt{c_0 \alpha}$



Příklad. Vodní roztok kyseliny benzoové o koncentraci 0.01 mol dm^{-3} měl konduktivitu $3.302 \times 10^{-2} S \cdot m^{-1}$. Konduktivita použité vody byla $1.6 \times 10^{-4} S \cdot m^{-1}$. Vypočítejte rovnovážnou konstantu disociace kyseliny benzoové. Limitní molární vodivosti iontů jsou: $\lambda^\infty(H^+) = 0.03497 S \cdot m^2 \cdot mol^{-1}$, $\lambda^\infty(C_6H_5COO^-) = 0.00323 S \cdot m^2 \cdot mol^{-1}$.

$$\kappa = 0.1 \times 10^{-3} = \lambda \cdot 9800 = \rho$$

Vodivost a difuzní koeficient

20/25
AB21,μ06

Einsteinova (Nernstova-Einsteinova) rovnice:

$$D_i = \frac{k_B T}{f_i} = \frac{k_B T}{F_i \nu_i} = \frac{k_B T}{z_i e \mathcal{E} / (u_i \mathcal{E})} = \frac{k_B T}{z_i e / u_i} = \frac{RT u_i}{z_i F}$$

$$z_i F D_i = RT u_i \Rightarrow \lambda_i = u_i z_i F = \frac{z_i^2 F^2}{RT} D_i$$

mikroskopicky:

$$u_i = \frac{z_i e}{k_B T} D_i$$

zde z_i je se znaménkem, $u_0 < 0$

- difuze: hnací silou je gradient koncentrace/chemického potenciálu

$$\vec{j}_i = -D_i \nabla c_i = -c_i \frac{D_i}{RT} \nabla \mu_i$$

$$\vec{j}_i = z_i F j_i = -c_i \frac{z_i F D_i}{RT} \nabla \mu_i = -c_i u_i \nabla \mu_i$$

- migrace: hnací silou je elektrické pole

$$\vec{j}_i = -c_i u_i \nabla \phi = -c_i \lambda_i \nabla \phi = -c_i u_i z_i F \nabla \phi$$

Definujeme **elektrochemický potenciál** $\tilde{\mu}_i = \mu_i + z_i F \phi$, pak (Nernstova-Planckova rovnice):

$$\vec{j}_i = -c_i u_i \nabla \tilde{\mu}_i = -c_i \frac{D_i z_i F}{RT} \nabla \tilde{\mu}_i = -c_i \frac{\lambda_i}{z_i F} \nabla \tilde{\mu}_i$$

